

วิธีการสร้างแผนที่จีโนมในออโตโพลีพloid

A Methodology for Genome Mapping of Autopolyploids

กิตติพัฒน์ อุ่มยักษิ

ภาควิชาเทคโนโลยีชีวภาพ คณะวิทยาศาสตร์และเทคโนโลยี
มหาวิทยาลัยธรรมศาสตร์ ศูนย์รังสิต อ.คลองหลวง จ.ปทุมธานี 12121

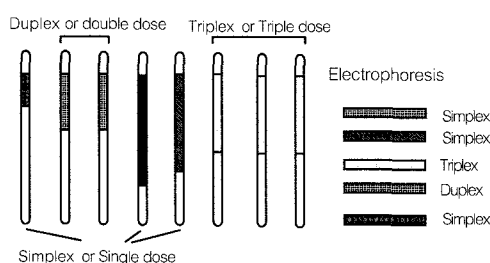
1. บทนำ

เครื่องหมายโมเลกุล (Molecular markers) มีความสำคัญอย่างมากในการวิเคราะห์จีโนมทั้งในสิ่งมีชีวิตคู่พloid (diploid) ทั่วไป และในสิ่งมีชีวิตที่มีความโครโนไซมมากกว่าสองชุดหรือโพลีพloid (polyploid) ซึ่งส่วนใหญ่พบได้ในพืช การสร้างแผนที่จีโนมที่ขึ้นหรือแผนที่เครื่องหมายโมเลกุลในโพลีพloidโดยเด่นพำนี้ โพลีพloidที่มีชุดโครโนไซมแบบออโตโพลีพloid (autopolyploid ; ชุดโครโนไซมที่มีโครโนไโอลักต์โครโนไซมมากกว่าสองเท่า) มีความยุ่งยากซับซ้อนมากกว่าในดิพloidด้วยปัจจัยหลายอย่าง คือ 1) การกระจายตัวของถูกผสานมีจีโนไทป์เป็นจำนวนมากที่ใช้ในการวิเคราะห์ 2) ความไม่ชัดเจนของเข้าคู่ของโครโนไโอลักต์โครโนไซมในการแบ่งเซลล์ในออชิสเพื่อสร้างเซลล์สืบพันธุ์ 3) การปรากฏของแคนเครื่องหมายโมเลกุลเป็นจำนวนมาก (แม้ว่าจะใช้เครื่องหมายโมเลกุล SSR หรือ RFLP) ทำให้เกิดความซับซ้อนในการวิเคราะห์จีโนไทป์ ในบทความนี้เป็นการอธิบายถึงวิธีการวิเคราะห์เพื่อสร้างแผนที่เครื่องหมายโมเลกุลในออโตโพลีพloid โดยการวิเคราะห์ลิงเกจ (linkage) ระหว่างเครื่องหมายโมเลกุลที่มีการถ่ายทอดพันธุกรรมในรูปแบบของออโตโพลีพloid (polysomic inheritance) แบบค่างๆ เพื่อให้เข้าใจพฤติกรรมการเข้าคู่ของโครโนไโอลักต์โครโนไซม

2. คำนิยามศัพท์ที่เกี่ยวข้อง

ในปัจจุบันมีเครื่องหมายโมเลกุลหลายชนิดที่นำมาวิเคราะห์แผนที่ในพืชออโตโพลีพloid เช่น Restriction Fragment Length Polymorphism (RFLP; Da Silva et al.,

1995; Ming et al. 2001) Random Amplified Polymorphic DNA (RAPD ; Al-Janabi et al., 1993; Ukoskit and Thompson , 1996) และ Amplified Fragment Length Polymorphism (AFLP ; Hoarau et al., 2001) โดย Wu. et al. (1992) ได้เสนอวิธีการวิเคราะห์ลิงเกจในโพลีพloid โดยใช้เทคนิค RFLP และให้คำจำกัดความของคำว่า single dose restriction fragment (SDRF) หมายถึง probe ที่สามารถไฮบริดไรซ์ (hybridize) กับชิ้นดีเอ็นเอตำแหน่งเดียวกันโครโนไซมเพียงโครโนไซมเดียวจากโครโนไโอลักต์โครโนไซมเดียวกัน ทำให้ได้แคนดีเอ็นเอที่มีการกระจายตัวในรูปแบบ 1:1 (ปรากฏ : ไม่ปรากฏ) แต่ไม่คำนึงว่าชนิดของพลดอดี (ploidy) จะเป็นอัลโลโพลีพloid (allopolyploid) หรือออโตโพลีพloid (รูปที่ 1) สำหรับคนสามารถไฮบริดไรซ์กับดีเอ็นเอของสองตำแหน่งหรือสามตำแหน่งบนโครโนไโอลักต์โครโนไซมสองแท่งหรือสามแท่ง แคนดีเอ็นเอที่สองแบบนี้จะเรียกว่า double หรือ triple dose restriction fragment ตามลำดับ (DDRF หรือ TDRF ตามลำดับ) และจัดว่าเป็น multiple dose DNA fragment อย่างไรก็ตามเทคนิคการสร้างเครื่องหมายโมเลกุลแบบอื่นที่มีพื้นฐานจากปฏิกิริยา PCR (polymerase chain reaction) เช่น RAPD หรือ AFLP ที่สามารถสร้างแคนดีเอ็นเอชนิด SDRF DDRF หรือ TDRF ได้ ดังนั้น การเรียกชื่อชนิดของแคนดีเอ็นเอของโพลีพloidสามารถใช้ simplex duplex หรือ triplex แทน ตามลำดับ ซึ่งเป็นคำศัพท์ที่เสนอโดย De Winton and Haldane (1931)



รูปที่ 1 แสดงเครื่องหมายโมโนเลกุล simplex duplex และ triplex บนไฮโลมิโโลกัสโครโน โฉน 8 แท่ง ของอโตอคต้าพลอย (autooctaploid)

อโตโอลีพลอยสามารถตรวจสอบร่างชุดเชคค์สีบันธ์ (gametic series) ได้หลายแบบ เมื่อพิจารณาลิงเกจระหว่าง เครื่องหมายโมโนเลกุลสองเครื่องหมาย (two point linkage) ตัวอย่าง คำศัพท์ที่ควรทราบเกี่ยวกับลิงเกจ มีดังนี้ (รูปที่ 2)

Simplex coupling: ลิงเกจระหว่าง 2 เครื่องหมายโมโนเลกุล simplex ที่ลิงค์กันในสภาพ coupling

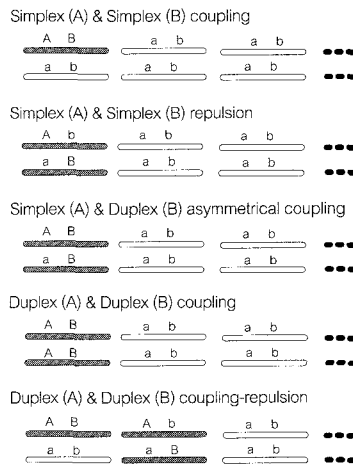
Simplex repulsion: ลิงเกจระหว่าง 2 เครื่องหมายโมโนเลกุล simplex ที่ลิงค์กันในสภาพ repulsion

Simplex-duplex (1&2) asymmetrical coupling: ลิงเกจระหว่างเครื่องหมายโมโนเลกุล simplex กับเครื่องหมายแบบ duplex ที่ลิงค์กันในสภาพ coupling

Simplex-duplex (1&2) asymmetrical repulsion: ลิงเกจระหว่างเครื่องหมายโมโนเลกุล simplex กับเครื่องหมาย duplex ที่ลิงค์กันในสภาพ repulsion

Double coupling (duplex coupling): ลิงเกจระหว่าง เครื่องหมายโมโนเลกุลแบบ duplex ที่ลิงค์กันในสภาพ coupling

Duplex coupling-repulsion: ลิงเกจระหว่างเครื่องหมายโมโนเลกุล duplex โดยคู่หนึ่งของเครื่องหมายโมโนเลกุลลิงค์กัน ในสภาพ coupling อีกคู่หนึ่งลิงค์กันในสภาพ repulsion



รูปที่ 2 แสดงลิงเกจระหว่างเครื่องหมายโมโนเลกุล simplex และ duplex ที่ลิงค์กันในสภาพ coupling และ repulsion โดยมีสมมุติฐานการเข้าคู่ของไฮโลมิโโลกัสโครโน โฉนแบบ non-preferential bivalent pairing โครโน โฉนแท่งสีเข้มเป็นโครโน โฉนที่มีเครื่องหมายโมโนเลกุล (informative chromosome)

3. การวิเคราะห์ลิงเกจระหว่างเครื่องหมายโมโนเลกุลในอโตโอลีพลอย

ขั้นตอนการวิเคราะห์ลิงเกจ ระหว่างเครื่องหมายโมโนเลกุลเพื่อสร้างแผนที่เครื่องหมายโมโนเลกุลในอโตโอลีพลอย มีลำดับขั้นตอนดังนี้ 1) การสร้างประชากรลูกผสมสำหรับการวิเคราะห์ลิงเกจของเครื่องหมายโมโนเลกุล 2) การวิเคราะห์และการสร้างแผนที่เครื่องหมายโมโนเลกุล simplex 3) การวิเคราะห์ชนิดของโอลีพลอยด์ 4) การวิเคราะห์และ การสร้างแผนที่เครื่องหมายโมโนเลกุล multiplex (duplex และ triplex) 5) การวิเคราะห์กลุ่มลิงเกจ (linkage group) ที่เป็นไฮโลมิโลกัสกัน

3.1 การสร้างประชากรลูกผสมสำหรับการวิเคราะห์ลิงเกจของเครื่องหมายโมโนเลกุล (Mapping population)

ประชากรลูกผสมที่ใช้สำหรับสร้างแผนที่เครื่องหมายโมโนเลกุลสำหรับโอลีพลอยสามารถใช้พืชเดลิพลอยที่เป็นคู่อ่อน (diploid relative) การใช้พืชที่มีชุด

โครโนโชมอนิวพอลอยแบบต่างๆ (aneuploid stock) การใช้ประชากรลูกที่เป็นแฮพโลยหรือดับเบิลแฮพโลย (haploid or double haploid) และการใช้ประชากรลูกผสมระหว่างโพลีพอลอยด้วยกันเองประชากรลูกผสมเหล่านี้อาจมีความเหมาะสมในพืชเดี่ยวชนิดเดียวกันออกไป

การใช้พืชพอลอยที่เป็นเครื่องหมายติดกันสามารถนำมาใช้สร้างแผนที่เครื่องหมายโมเลกุลในมันฝรั่ง (Bonierbale et al., 1988) อัลฟักฟ้า (Echt et al., 1994) และข้าวสาลี (Kam-Morgan, 1989) โพลน ของ RFLP ที่อยู่ในตำแหน่งแผนที่ของดีพอลอย สามารถถ่ายทอดไปสู่โพลีพอลอยได้สำเร็จด้วยของอินทรีหรือเครื่องหมายโมเลกุลในมันฝรั่งพืชเดี่ยวชนิดเดียวกันในโพลีพอลอย ซึ่งในบางกรณี เครื่องหมายโมเลกุลในแผนที่ของดีพอลอยก็อาจยุ่งยากในการวางแผนในโพลีพอลอย เนื่องจากสามารถวางแผนตำแหน่งได้หลายตำแหน่งในโพลีพอลอย และในบางกรณี การใช้พืชพอลอยหรือพืชป่าที่เป็นเครื่องหมายติดกับโพลีพอลอย ก็อาจมีปัญหารือถึงการผสมพันธุ์ หรือเมล็ดที่ได้เป็นหมัน

การใช้พืชที่มีโครโนโชมอนิวพอลอยแบบต่างๆ ประชากรแบบนี้เหมาะสมสำหรับพืชที่มีการศึกษาทางเซลล์พันธุ์ศาสตร์อย่างละเอียดและมีสายพันธุ์ที่เป็นอนิวพอลอยที่ต้องการศึกษา เช่น ข้าวสาลี (Anderson, 1992) การวางแผนของเครื่องหมายโมเลกุล RFLP บนแผนโครโนโชมทำโดยการคัดเลือก周恩ไชม์ตัดจำเพาะที่เหมาะสมเพื่อให้เกิดการแยกของแอบดีเอ็นเอเครื่องหมายหลัก (major band) แทนที่จะเป็นการคัดเลือกหาโพลีมอร์ฟิซึม (polymorphism) ระหว่างสองจีโนไทป์ ในกรณีนี้ไม่ต้องมีการวิเคราะห์ลิงเจกและถ้าตำแหน่งของเครื่องหมายโมเลกุลแผนที่เครื่องหมายโมเลกุลที่ใช้นิวพอลอยในการวิเคราะห์สามารถนำไปเสริมกับแผนที่เครื่องหมายโมเลกุลปกติได้โดยการวิเคราะห์การถ่ายทอดลักษณะในลูกผสมสายพันธุ์แท้ ซึ่งต้องการใช้นิวพอลอยในการวางแผนที่เครื่องหมายโมเลกุล คือสามารถหลีกเลี่ยงปัญหาที่เกิดจากเข้าคู่ของโครโนโชมที่ผิดปกติในโพลีพอลอยได้ และไม่มีปัญหารือถึงการเป็นหมันของเมล็ด แต่ถ้าใช้ตามอนิวพอลอยก็ไม่มีในพืชหลาย ๆ ชนิด

การใช้ประชากรลูกผสมแฮพโลยหรือดับเบิลแฮพโลย Wu et al. (1992) แนะนำว่าเป็นประชากรที่เหมาะสมที่สุดสำหรับการสร้างแผนที่ยืนในโพลีพอลอยด้วยเครื่องหมายโมเลกุลแบบ SDRF เนื่องจากลูกผสมเหล่านี้เป็นตัวแทนของเซลล์สืบพันธุ์จากพืชในไทยปัจจุบันอย่างพ่อแม่โดยตรง ประพิธิภารภาพของการสร้างแผนที่จะมีมากที่สุดถ้าประชากรแฮพโลยนั้นเกิดจากพืชที่มีความเป็นเอกเทอโร ไว้โกซิตี้ สูง (heterozygosity) เนื่องจากเครื่องหมายโมเลกุล SDRF ทุกเครื่องหมาย (มีการกระจายตัว 1:1) สามารถนำมาใส่ลงในแผนที่ได้ทั้งหมด อย่างไรก็ตามเทคนิคในการสร้างพืชแฮพโลยหรือดับเบิลแฮพโลยาจังไม่ได้รับการพัฒนาในพืชหลาย ๆ ชนิด นอกจากนี้ เกสรตัวผู้ที่นำมาเพาะเดี่ยวนี้อ่อนแอไม่ใช้ตัวแทนของเซลล์สืบพันธุ์อย่างสุ่มโดยแท้จริง เนื่องจากการเกิดปฏิสัมพันธ์ระหว่างเจโนไทป์ในเกสรตัวผู้กับสารเคมีหรือสภาพต่าง ๆ ที่ใช้ในระหว่างการเดี่ยงคัลลัสเกสรตัวผู้ (Da Silva et al., 1993 : Baenziger et al., 1984)

การใช้ประชากรลูกผสมระหว่างโพลีพอลอยที่มีจีโนไทป์ที่มีความเป็นเอกเทอโร ไว้กัลสูง คือสามารถนำมาใช้การวางแผนที่ในโพลีพอลอยได้อย่างมีประสิทธิภาพ เช่น ในยูคาลิปตัส (Grattapaglia and Sederoff, 1994) แอกป์แลล (Hemmat et al., 1994) มันเทศ (Ukoskit and Thompson, 1997) อ้อด (Da Silva, 1993; Hoarau et al., 2001; Ming et al., 2001) ประชากรลูกผสมลักษณะนี้เรียกว่า ลูกผสมทดสอบเทียม (pseudo testcross population) การกระจายตัวของเครื่องหมายโมเลกุลในประชากรลูกผสมแบบนี้จะกระจายตัว 1:1 ยกเว้นในกรณีที่พ่อแม่ทั้งคู่เป็นเอกเทอโร ไว้กัลของเครื่องหมายโมเลกุลโลคัส (locus) นั้น ซึ่งจะมีการกระจายตัวแบบ 3:1 หรือ 1:2:1 หรือ 1:1:1:1 การวางแผนที่ยืนที่เกิดจากการใช้ประชากรลูกผสมทดสอบเทียมจะทำให้ได้แผนที่ยืนทั้งในฟ่อและแม่ที่นำมาผสม

3.2 การวิเคราะห์ลิงกงและการสร้างแผนที่เครื่องหมายโมเลกุล simplex

เครื่องหมายโมเลกุล simplex สามารถจำแนกได้โดยใช้ประชากรลูกผสมที่เกิดการกระจายตัว คุณลักษณะของเครื่องหมายโมเลกุล simplex มีดังนี้

3.2.1 แบบเดียวของเครื่องหมายโมเลกุลจะปรากฏในฝ่ายพ่อหรือแม่เพียงฝ่ายเดียว

3.2.2 อัตราส่วนการกระจายตัวของแทนคีอีนอยในประชากรลูกผสมที่เกิดจากการผสมทดสอบ หรือผสมทดสอบเทียม มีอัตราส่วน 1:1 (ปราภูณเดบตีอีนอย : ไม่ปราภูณเดบตีอีนอย) โดยไม่คำนึงว่าชนิดพอลอยดีจะเป็นอัลโลโพลีพอลอยหรืออโตโพลีพอลอย เครื่องหมายโมเลกุลที่ไม่ใช่ชินิด simplex จะมีการกระจายตัวของเครื่องหมายโมเลกุลในประชากรลูกผสมทดสอบ ดังตัวอย่างในตารางที่ 1

ตารางที่ 1 แสดงอัตราส่วน การปราภูณ ของเครื่องหมายโมเลกุล simplex และ multiplex (duplex, triplex และ quadruplex) ในประชากรลูกผสมทดสอบ

Number of dose	Segregating ratio in testcross (presence : absence)		
	Tetraploid	Hexaploid	Octaploid
Simplex	1:1	1:1	1:1
Duplex	5:1	4:1	11:3
Triplex	All presence	19:1	13:1
Quadruplex	All presence	All presence	69:1

3.2.3 ขนาดของประชากรลูกผสมที่ใช้ในการตรวจสอบเครื่องหมายโมเลกุล simplex ต้องมีจำนวนที่มากพอในการแยกความแตกต่างของอัตราส่วน 1:1 ออกจาก 3:1 เนื่องจากอัตราส่วน 3:1 เป็นอัตราส่วนที่ใกล้เคียงที่สุดของการกระจายตัวของเครื่องหมายโมเลกุลชนิด multiplex (ดูแล้ว duplex นี่ไป) ของอโตโพลีพอลอย (แสดงดังตารางที่ 2) และอัลโลโพลีพอลอย Wu et al., (1992) ได้คำนวณให้เห็นว่าขนาดของประชากรลูกผสมจำนวน 54 75 หรือ 92 สามารถใช้แยกความแตกต่างอัตราส่วน 1:1 จาก 3:1 ด้วยความเชื่อมั่น 95% 98% และ 99% ตามลำดับ

ตารางที่ 2 แสดงอัตราส่วนการกระจายตัว (การปราภูณ : การไม่ปราภูณ) ของเครื่องหมายโมเลกุล simplex และ multiplex ในอโตโพลีพอลอยแบบต่างๆ ซึ่งแสดงให้เห็นว่าอัตราส่วนการกระจายตัวของเครื่องหมายโมเลกุล multiplex มีค่าเข้าใกล้ 3:1

Number of dose	Tetraploid h = 4	Hexaploid h = 6	Octaploid h = 8	Decaploid h = 10	h becomes large
Simplex	1:1	1:1	1:1	1:1	1:1
Duplex	5:1	4:1	3.7:1	3.5:1	(3h-2)/(h-2)
Multiplex	Various ratios all higher than 3:1				

ตารางที่ 3 แสดงตัวอย่างการคัดเลือกเครื่องหมายโนมเลกุล simplex (2A และ 7B)

Marker	Band	Parent		Progeny												
		no.	P ₁	P ₂	1	2	3	4	5	6	7	8	9	10	11	12
i	1	-	-	-	-	-	-	-	-	-	-	-	-	-	-	-
	2(A)	-		-	-			-		-		-	-			
	3	-	-	-	-	-	-	-	-	-	-	-	-	-	-	-
	4	-		-	-	-	-	-	-	-	-	-	-	-	-	-
j	5	-	-	-	-	-	-	-	-	-	-	-	-	-	-	-
	6	-			-	-	-	-	-	-	-	-	-	-	-	-
	7(B)	-		-	-			-		-		-			-	-
	8		-	-	-	-	-	-	-	-	-	-	-	-	-	-
A&B linkage				AB(a)	AB(a)	Nil(d)	Nil(d)	AB(a)	Nil(d)	AB(a)	Nil(d)	AB(a)	A(b)	B(c)	Nil(d)	

3.2.4 การตรวจสอบลิงเกจระหว่างเครื่องหมายโนมเลกุล simplex สามารถใช้การทดสอบ \mathfrak{M}^2 ได้ในทำนองเดียวกันในดิพโลยหัวไป ดังตัวอย่างข้อมูลในตารางที่ 3 โดย $\mathfrak{M}^2 = (a-b-c+d)^2/(a+b+c+d)$; df = 1 (Mather, 1951) ค่า \mathfrak{M}^2 ที่แสดงนัยสำคัญ แสดงว่าเครื่องหมายโนมเลกุล simplex ทึ้งถ่องลิงค์กันซึ่งอาจเป็นในสภาพ coupling หรือ repulsion ก็ได้ จากตารางที่ 3 เครื่องหมายโนมเลกุล A และ B เท่านั้นที่เป็นเครื่องหมายโนมเลกุล simplex เครื่องหมายโนมเลกุลที่ 1 3 และ 5 ไม่เกิดโพลิโนฟิชีนระหว่างพอกันแม่ เครื่องหมายโนมเลกุลที่ 4 6 และ 8 แม้แสดงโพลิโนฟิชีนระหว่างพอกันแม่ แต่การกระจายตัวของเครื่องหมายโนมเลกุลไม่ใช่ 1:1 จึงไม่ใช่เครื่องหมายโนมเลกุล simplex

3.2.5 การประมาณค่า r (recombination fraction) ระหว่างเครื่องหมายโนมเลกุล simplex ที่ลิงค์กันในสภาพ coupling สามารถคำนวณโดยใช้หลักการเดียวกับการคำนวณค่า r ของดิพโลยดังตารางที่ 4 (ແລ厝ตั้งที่ 2 ลิงเกจในสภาพ coupling) โดยจำนวนประชากรลูกผสมที่ใช้จะเป็นปัจจัยที่กำหนด ขนาดของค่า r ที่มากที่สุด ($\max r_i$) ที่สามารถคำนวณได้ โดยค่า $\max r_i = 0.5(1-2.3264\sqrt{1/n})$

(Wu et al., 1992) เป็นความสมมัติระหว่างขนาดของประชากรลูกผสม n ที่สามารถใช้ในการคำนวณค่า r ที่มากที่สุด โดยการทดสอบสถิติ Z- แบบทางเดียวที่ระดับความน่าจะเป็น $\mathcal{D} = 0.01$ (แสดงดังรูปที่ 3) โดยหัวไปขนาดของค่า r ที่เหมาะสมในโภrogการปรับปรุงพันธุพืชจะอยู่ระหว่าง 0.1 ถึง 0.25 ซึ่งสามารถนำไปใช้ประโยชน์สำหรับการวิเคราะห์ลิงเกจ โดยมีค่า $r_1 = 0.25$

ตารางที่ 4 แสดงอัตราส่วนฟีโนไทป์ของชุดเซลล์สีบันธุ์ที่เกิดจากเครื่องหมายโนมเลกุล simplex ลิงค์กันในสภาพ coupling และ repulsion

Gamete type	Coupling	Repulsion	No. observed
AB	$0.5(1-r_1)$	$0.25(1-w) + 0.5 wr_2$	a
A	$0.5 r_1$	$0.25(1-w) + 0.5 w(1-r_2)$	b
B	$0.5 r_1$	$0.25(1-w) + 0.5 w(1-r_2)$	c
Nil	$0.5(1-r_1)$	$0.25(1-w) + 0.5 wr_2$	d

หมายเหตุ

: r_1 recombination fraction ของลิงเกจที่ลิงค์กันในสภาพ coupling;

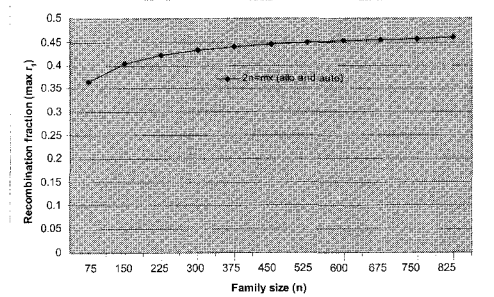
r_2 recombination fraction ของลิงเกจที่ลิงค์กันในสภาพ repulsion

$w = 1/h-1$ เมื่อ h เป็นจำนวนไโซโนโลกัสโครโนโซม โดย $1/h-1$ เป็นโอกาสที่ informative chromosome มาเข้าคู่กัน; $1-(1/h-1)$ เป็นโอกาสที่ informative chromosome เข้าคู่กับ non-informative chromosome

สำหรับการประมาณค่า r ระหว่างเครื่องหมายไม่เลกุล simplex ที่ลิงค์กันในสภาพ repulsion นั้น โพลีพลอยชนิดอัลโลโพลีพลอยสามารถตรวจสอบได้ในทำนองเดียวกับดิพลอยด์ เมื่อจากการเข้าคู่ของไโซโนโลกัสโครโนโซมเป็นแบบ preferential bivalent pairing ซึ่งเป็นพฤติกรรมการเข้าคู่ของไโซโนโลกัสโครโนโซมของดิพลอยด์จำนวนประชากรถูกสมมุติให้ใช้ในการคำนวนค่า r ที่มีขนาดมากที่สุด ($\max r_2$) จะเป็นความสัมพันธ์ทำนองเดียวกับลิงเกจในสภาพ coupling แต่การประมาณค่า r ระหว่างเครื่องหมายไม่เลกุล simplex ที่ลิงค์กันในสภาพ repulsion ของออโตโพลีพลอยจะมีความแตกต่างออกไป เมื่อจากการเข้าคู่ของไโซโนโลกัสโครโนโซมคู่ที่มีเครื่องหมายไม่เลกุลที่ลิงค์กันในสภาพ repulsion

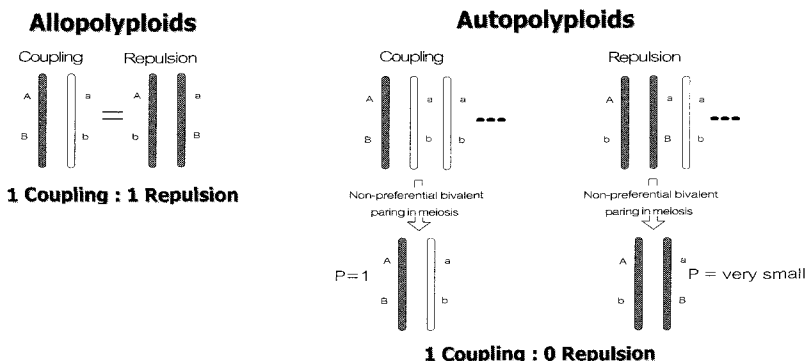
โดยจะสัมพันธ์กับจำนวนไโซโนโลกัสโครโนโซม (basic chromosome number; x) ของออโตโพลีพลอย เมื่อจากการเข้าคู่ของไโซโนโลกัสโครโนโซมในไโซชิสเป็นแบบ non-preferential bivalent pairing รูปที่ 4 แสดงการเข้าคู่ของโครโนโซมที่มีเครื่องหมายไม่เลกุลที่ลิงค์กันในสภาพ coupling และ repulsion เปรียบเทียบกันระหว่างอัลโลโพลีพลอยและออโตโพลีพลอย ดังนั้น ค่า $\max r_2$ นอกจากจะสัมพันธ์กับขนาดของประชากรถูกสม

แล้วจะสัมพันธ์กับจำนวนไโซโนโลกัสโครโนโซมของออโตโพลีพลอยด้วย โดยค่า $\max r_2 = 0.5 (1-2.3264 \sqrt{1/n})$ (กราฟแสดงดังรูปที่ 5; Wu et al., 1992) โดย h เป็นจำนวนไโซโนโลกัสโครโนโซมของออโตโพลีพลอย

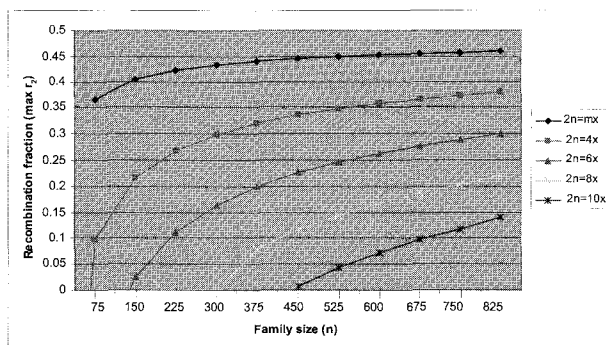


รูปที่ 3 แสดงความสัมพันธ์ระหว่างขนาดของประชากรถูกสมมุติใช้ในการวิเคราะห์ลิงเกจระหว่างเครื่องหมายไม่เลกุล simplex ในสภาพ coupling สำหรับอัลโลโพลีพลอยและออโตโพลีพลอย กับขนาดของค่า r ที่มากที่สุด ($\max r_1$) ที่สามารถคำนวณได้ ที่ระดับความเชื่อมั่น 99% สมการของกราฟคือ $\max r_1 = 0.5(1-2.3264 \sqrt{1/n})$ (Wu et al., 1992)

จากราฟในรูปที่ 5 จำนวนประชากรถูกสมมุติที่ต้องใช้เพื่อใช้ในการประมาณค่า $\max r_2$ ของเครื่องหมายไม่เลกุลที่ลิงค์กันในสภาพ repulsion ของออโตโพลีพลอย ต้องใช้ประชากรเป็นจำนวนมากเมื่อจำนวนไโซโนโลกัสโครโนโซมมีจำนวนเพิ่มมากขึ้น ซึ่งไม่สามารถทำได้ในทางปฏิบัติ ดังนั้นการสร้างแผนที่เครื่องหมายไม่เลกุลในออโตโพลีพลอยสามารถใช้เครื่องหมายไม่เลกุล simplex ที่ลิงค์กันในสภาพ coupling ออโตโพลีพลอยสามารถใช้วิธีการเดียวกับการสร้างแผนที่ในดิพลอยด์



รูปที่ 4 แสดงการจับกันของไฮโนโลกัสโครโนโซมของอัลโลโพลีพloid เทียบกับอัโตโพลีพloid โดยการเข้าคู่ของไฮโนโลกัสโครโนโซมของอัลโลโพลีพloid เป็นแบบ preferential bivalent pairing แต่ของอัโตโพลีพloid เป็นแบบ non-preferential bivalent pairing ลิงเกจของเครื่องหมายไม้เล็กๆ simplex ที่ลิงค์กันในสภาพ coupling และ repulsion จะมีโอกาสเกิดเท่ากัน ในอัลโลโพลีพloid (ทำนองเดียวกับดิพloid) แต่ในอัโตโพลีพloid ลิงเกจของเครื่องหมายไม้เล็กๆ simplex ที่ลิงค์กันในสภาพ repulsion สัมพันธ์กับจำนวนไฮโนโลกัสโครโนโซม (basic chromosome number; x) ของอัโตโพลี-พloid ซึ่งมีโอกาสพบน้อยมากถ้าจำนวนประชากรลูกผสมไม่มากพอ



รูปที่ 5 แสดงความสัมพันธ์ระหว่างขนาดของประชากรลูกผสมที่ใช้ในการวิเคราะห์ลิงเกราะระหว่างเครื่องหมายไม้เล็กๆ simplex ที่ลิงค์กันในสภาพ repulsion สำหรับอัลโลโพลีพloid และอัโตโพลีพloid กับขนาดของค่า r_2 ที่มากที่สุด ($\text{max } r_2$) ที่สามารถคำนวณได้ ที่ระดับความไวเชื่อมั่น 99% สมการของกราฟคือ $\text{max } r_2 = 0.5 (1 - 2.3264 (h-1) \sqrt{1/n})$ (Wu et al., 1992)

3.3 การวิเคราะห์ชนิดของโพลีพloyd

องค์ประกอบอื่นๆ ของพืชโพลีพloyd ส่วนหนึ่งยังไม่ทราบแน่ชัดว่าเป็นอัลโลโพลีพloyd หรืออัโตโพลีพloyd แต่โดยส่วนใหญ่แล้วก็ถึงสมมุติฐานว่าเป็นอัลโลโพลีพloyd โดยอยู่บนพื้นฐานของโครงสร้างที่มีพฤติกรรมการเข้าคู่แบบ preferential bivalent pairing ซึ่งเป็น

การเข้าคู่กันอย่างจำเพาะของคู่ไฮโนโลกัสโครโนโซมในขนาดการไม้อโซสทำหน่องเดียวกับพฤติกรรมการเข้าคู่ของไฮโนโลกัสโครโนโซมของดิพloid ในกรณีของอัโตโพลีพloyd การจับกันของไฮโนโลกัสโครโนโซมอาจเป็น univalent, bivalent หรือ multivalent ก็ได้ แต่ในการศึกษาลิงเกจในอัโตโพลีพloyd ต้องตั้งสมมุติฐานว่าไฮโนโลกัส

โครโนโอมขั้นกันแบบ bivalent โดยโครโนโลกัส
โครโนโอมจับคู่กันแบบไม่จำเพาะหรือเรียกว่า non-preferential bivalent pairing ภายใต้สมมุติฐานการจับคู่ของโครโนโลกัสโครโนโอมที่แตกต่างกันระหว่างอัลโลโพลีพloid และอัลโลโพลีพloyd ทำให้สามารถวิเคราะห์ชนิดของโพลีพloyd โดยใช้หลักเกณฑ์สองประการ ดังนี้

3.3.1 การเปรียบเทียบค่าสังเกตและค่าคาดหมายของจำนวนลิงเกจของเครื่องหมายโนเมเลกุล simplex ที่ลิงค์กันในสภาพ coupling กับ repulsion จากที่กล่าวไว้ปัจจุบัน ในหัวขอ 2.5 การตรวจสอบลิงเกจในสภาพ repulsion ของอัลโลโพลีพloyd สามารถพบได้ในโอกาสเท่ากับลิงเกจในสภาพ coupling (เปรียบเทียบเส้นกราฟในรูปที่ 3 กับเส้นกราฟของอัลโลโพลีพloyd ในรูปที่ 5) แต่ในการผึ้งของอัลโลโพลีพloyd ลิงเกจในสภาพ repulsion จะขึ้นกับระดับของพลอยด์ (จำนวนโครโนโลกัสโครโนโอม) และจำนวนประชากรลูกผสมซึ่งไม่สามารถตรวจสอบได้ ด้วยจำนวนประชากรลูกผสมไม่มากพอ นั่นคืออัตราส่วนของค่าคาดหมายของลิงเกจในสภาพ repulsion : ลิงเกจในสภาพ coupling ของอัลโลโพลีพloyd จะเท่ากัน 1:1 อัตราส่วนที่น้อยกว่านี้ (0:1) ก็แสดงว่าพืชนั้นมีดูโครโนโอมแบบของอัลโลโพลีพloyd

3.3.2 การเปรียบเทียบค่าสังเกตกับค่าคาดหมายของอัตราส่วนระหว่างเครื่องหมายโนเมเลกุล simplex และ multiplex (non-simplex) ยกตัวอย่างการวิเคราะห์การกระจายตัวของเครื่องหมายโนเมเลกุลในการทดสอบของเชกษาพloyd (6x) ดังนี้

Autohexaploid

Simplex	Aaaaaa X aaaaaa	Simplex $1-0.25 = 0.75$
Phenotypic ratio	1 A : 1 a	
Duplex	AAaaaa X aaaaaa	Non-simplex $1/5 + 1/20 = 0.25$
Phenotypic ratio	4 A : 1 a	
Triplex	AAAaaa X aaaaaa	Non-simplex $1/5 + 1/20 = 0.25$
Phenotypic ratio	19 A : 1 a	

Allohexaploid

Simplex	A ₁ a ₁ a ₂ a ₂ a ₃ a ₃ X a ₁ a ₁ a ₂ a ₂ a ₃ a ₃	Simplex $1-0.375 = 0.625$
Phenotypic ratio	1 A : 1 A	
Duplex	A ₁ a ₁ A ₂ a ₂ a ₃ a ₃ X a ₁ a ₁ a ₂ a ₂ a ₃ a ₃	Non-simplex $1/4 + 1/8 = 0.375$
Phenotypic ratio	3 A : 1 A	
Triplex	A ₁ a ₁ A ₂ a ₂ A ₃ a ₃ X a ₁ a ₁ a ₂ a ₂ a ₃ a ₃	Non-simplex $1/4 + 1/8 = 0.375$
Phenotypic ratio	7 A : 1 A	

โดยการวิเคราะห์ชนิดของพลอยด์สามารถใช้ค่าสถิติ χ^2 เปรียบเทียบค่าคาดหมายกับค่าสังเกตที่ได้จากการทดลองตารางที่ 5 แสดงตัวอย่างอัตราส่วนของ simplex และ multiplex ของเตตราพloyd เชกษาพloyd และออกตาพloyd

ตารางที่ 5 แสดงอัตราส่วนของค่าคาดหมายของเครื่องหมายโนเมเลกุล simplex และ multiplex เปรียบเทียบกับระหว่างอัลโลโพลีพloyd กับอัลโลโพลีพloyd ที่ได้จากการวิเคราะห์การกระจายตัวของเครื่องหมายโนเมเลกุลในประชากรลูกผสมที่เกิดจากการผสมทดสอบ

Dosage	Tetraploid		Hexaploid		Octaploid	
	Allo	Auto	Allo	Auto	Allo	Auto
Simplex	0.75	0.83	0.625	0.75	0.56	0.70
Multiplex	0.25	0.17	0.375	0.25	0.44	0.30

โดยการใช้หลักเกณฑ์ที่ทั้งสองประการนี้ Ukoskit and Thompson (1997) สามารถวิเคราะห์ชนิดของพอลอยด์ในมันเทศ (sweetpotato) ได้โดยวิเคราะห์อัตราส่วนครึ่งหมายโมเลกุล RAPD จำนวน 188 เครื่องหมาย ในประชากรลูกผสมทดสอบเทียบ พนว่าอัตราส่วนของ multiplex ต่อ simplex เท่ากับ 0.25 : 0.75 และเมื่อเปรียบเทียบจำนวนลิงเจกของเครื่องหมาย simplex ที่ลิงเจกในสภาพ coupling กับ repulsion โดยใช้ประชากรลูกผสม

จำนวน 76 พนว่าไม่สามารถตรวจพบลิงเจกในสภาพ repulsion เลย ดังนั้นผลการทดลองจึงเป็นเช่นไร้วั�พเมะโภโครโนโชนที่มีพุติกธรรมแบบโพลีโโนมิกที่มีชุดโครโนโชน 6x ข้อมูลนี้เป็นข้อมูลพื้นฐานที่มีความสำคัญต่อโครงการปรับปรุงพันธุ์พืชที่มีชุดโครโนโชนแบบโพลีพลอย ซึ่งจะทำให้ช่วยกำหนดวิธีการปรับปรุงพันธุ์ขนาดประชากรลูกผสม และวิธีการคัดเลือกที่เหมาะสม

ตารางที่ 6 ชุดเซลล์สีบันธุ์ (gametic series) ของตัวอย่างอัโตโพลีพลอย 3 ชนิดที่เกิดจากเครื่องหมายโมเลกุลชนิดชั่ง สมบูรณ์ (complete dominance) ที่ลิงค์กันในแบบต่างๆ

Ploidy level	Locus A	Locus B	Linkage phase
16 types Hexaploid pes	Tetraploid	Simplex Simplex	Coupling; Repulsion
		Duplex	Coupling; Repulsion
	Octaploid	Duplex Duplex	2-Coupling; Coupling&Repulsion; 2Repulsion
		Simplex Triplex	Coupling; Repulsion
		Duplex Triplex	2-Coupling; Coupling & Repulsion; 2-Repulsion
		Triplex Triplex	3-Coupling; 2-Coupling & Repulsion; Coupling & 2-Repulsion; 3-Repulsion
30 types	Octaploid	Simplex Duadraplex	Coupling; Repulsion
		Triplex Duadraplex	2-Coupling; Coupling & Repulsion; 2-Repulsion
		Triplex Duadraplex	3-Coupling; 2-Coupling & Repulsion; Coupling & 2-Repulsion; 3-Repulsion
		Duadraplex Duadraplex	4-Coupling; 3-Coupling & Repulsion; 2-Coupling & 2-Repulsion; Coupling & 3-Repulsion;
			4-Repulsion;

3.4 การวิเคราะห์และการสร้างแผนที่เครื่องหมายโมเลกุลแบบ multiplex (duplex และ triplex)

ตามขั้นตอนการทำแผนที่เครื่องหมายโมเลกุลในอัโตโพลีพลอย หลังจากสร้างแผนที่เครื่องหมายโมเลกุล

simplex แล้วขั้นตอนต่อไป คือ การเติมเครื่องหมายโมเลกุล multiplex ในที่นี้จะยกตัวเฉพาะ duplex และ triplex โดยมีขั้นตอนการวิเคราะห์ดังนี้

3.4.1 การหาอัตราส่วนจีโนไทป์และอัตราส่วนฟีโนไทป์

ในดิพลอยด์เซลล์สืบพันธุ์ (gametic series) ของ เครื่องหมายโมเลกุลที่ลิงค์กันเข้ากันอยู่เพียง 2 แบบ คือ coupling และ repulsion ในออโตโพลอยด์เซลล์สืบพันธุ์ของเครื่องหมายโมเลกุลที่ลิงค์กันจะมีได้หลายแบบยิ่ง จำนวนโถไมโลกัสโครโนโชุมมีมากขึ้น จำนวนชนิดของ ชุดเซลล์สืบพันธุ์ยิ่งเพิ่มจำนวนมากขึ้น (ดังตารางที่ 6) ใน การพิจารณาแบบดีเอ็นเอของเครื่องหมายโมเลกุลเพื่อ วิเคราะห์หาอัตราส่วนจีโนไทป์และอัตราส่วนฟีโนไทป์ จะทำการวิเคราะห์แบบดีเอ็นเอแต่ละແળและ พิจารณาการ ถ่ายทอดลักษณะแบบขั้นสมบูรณ์ (complete dominance) แม้ว่าเครื่องหมายโมเลกุลจะเป็นประเภท RFLP หรือ SSR ทั้งนี้เนื่องจากແળดีเอ็นเอของเครื่องหมายโมเลกุล RFLP หรือ SSR จะปรากฏเป็นจำนวนหลายແળ (มากกว่า 2 ແລນ) การอ่านจีโนไทป์แบบขั้นร่วม (codominance) ไม่ สามารถอ่านได้ โดยแยกเครื่องหมายโมเลกุลแต่ละແળ อาจเป็นเครื่องหมายโมเลกุล simplex หรือ multiplex ก็ได้ โดยพิจารณาจากการกระจายตัวในประชากรสูงสมดังตารางที่

ในการสร้างແພນที่เครื่องหมายโมเลกุล multiplex จำเป็นต้องสร้างสูตรสำหรับการคำนวนค่า r สำหรับชุดเซลล์สืบพันธุ์แต่ละแบบที่เกิดจากการลิงค์กันของเครื่องหมายโมเลกุลในแบบต่างๆ โดยตั้งสมมติฐานว่าพุทธิกรรมการเข้าคู่ของโถไมโลชุมเป็นแบบ non-preferential bivalent pairing ขั้นตอนการวิเคราะห์เริ่มจากการวิเคราะห์ หาอัตราส่วนจีโนไทป์ ซึ่งต้องคำนวนจากโอกาสของการ จับคู่กันของโถไมโลกัสโครโนโชุมแต่ละแบบ จากนั้นจึง รวมอัตราส่วนจีโนไทป์เป็นอัตราส่วนฟีโนไทป์ ดังตัวอย่างในชุดเซลล์สืบพันธุ์ simplex-duplex asymmetrical coupling ของออโตເສກ່າພລອຍ ดังนี้

กำหนดให้

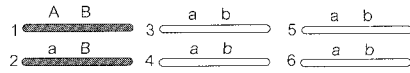
: หมายเลข 1-6 คือ หมายเลขโถไมโลกัสโครโนโชุมที่ 1-6 : A, B เป็นແນວเครื่องหมายโมเลกุล simplex และ duplex ตามลำดับ ซึ่งมีคำแนะนำบนโถไมโลชุมที่ 1 และ 2 ตาม

ลำดับ (โถไมโลชุมที่ 1 และ 2 นี้เป็นโถไมโลชุมที่มีเครื่องหมายโมเลกุลหรือ informative chromosome)

: a, b การไม่ปรากฏของແບນเครื่องหมายโมเลกุล simplex และ duplex ตามลำดับ ซึ่งมีคำแนะนำบนโถไมโลชุมที่ 3-6 (โถไมโลชุมที่ 3-6 นี้เป็นโถไมโลชุมที่ไม่มีเครื่องหมายโมเลกุลหรือ non-informative chromosome)

การเข้าคู่ของโถไมโลกัสโครโนโชุมเกิดได้ใน 2 กรณี คือ

กรณีที่ 1) การเข้าคู่ระหว่างโถไมโลชุมที่มีเครื่องหมายโมเลกุลด้วยกันเอง (AB/aB) มีโอกาสเป็นไปได้ 3 แบบ คือ (12, 34, 56) (12, 35, 46) และ (12, 36, 45)



ในกรณีนี้การเกิด crossing over ระหว่าง A และ B ของคู่ โถไมโลชุมของ AB/aB ไม่ทำให้ได้ลูกที่เป็น recombinant อัตราส่วนจีโนไทป์จะเป็นดังนี้

Chromosome pairings	Possible gametes	Frequency
12 (AB/ab)	AB	1/2
	aB	1/2
34, 35, or 36 (ab/ab)	ab	1
56, 46, or 45 (ab/ab)	ab	1

Genotypes	Frequency
AaaBbb	1/2
aaaBbb	1/2

กรณีที่ 2) การเข้าคู่ระหว่างโถไมโลชุมที่มีเครื่องหมายโมเลกุลกับโถไมโลชุมที่ไม่มีเครื่องหมายโมเลกุล (AB/ab หรือ aB/ab) มีโอกาสเป็นไปได้ทั้งหมด 12 แบบ คือ

(13 24 56), (14 23 56), (15 23 46), (16 23 45), (13 25 46), (14 25 36), (15 24 36), (16 25 34), (13 26 45), (14 26 35), (15 26 34), (16 25 34)

ในการเลือกการเกิด crossing over จะห่วง A และ B ของคู่โครโมโซมของ AB/ab จะทำให้ได้ลูกที่เป็น recombinant อัตราส่วนจีโนไทป์จะเป็นดังนี้

Chromosome pairings	Possible gametes	Frequency
13, 14, 15, 16 (AB/ab)	AB	(1-r)/2
	ab	(1-r)/2
	Ab	r/2
	aB	r/2
23, 24, 25, or 26 (aB/ab)	aB	1/2
	ab	1/2
34, 35, 36, 45, 46, 56 (ab/ab)	ab	1

Genotypes	Frequency	Phenotype	Frequency
AaaBBb	1-r	AB	0.5r-0.2r
AaaBbb	3/2		
Aaabbb	r	A	0.2r
aaaBBb	r	B	0.3+0.2r
aaaBbb	3/2		
aaabbb	1-r	Nil	0.2-0.2r

สำหรับตัวอย่างอัตราส่วนจีโนไทป์ในชุดเซลล์สีบ พันธุ์แบบอื่นของออโตเซกษาพลอย แสดงดังตารางที่ 7

Genotypes	Frequency
AaaBBb	((1-r)/2)(1/2)(4)
AaaBbb	(r/2)(1/2)(4)

เมื่อรวมอัตราส่วนจีโนไทป์ที่เหมือนกันจากกราฟที่ 1 และ กราฟที่ 2 จะได้อัตราส่วนจีโนไทป์ 4 แบบ ดังนี้

ตารางที่ 7 แสดงอัตราส่วนฟีโนไทป์ของชุดเซลล์สีบพันธุ์ที่เกิดจากเครื่องหมายโมเลกุล simplex duplex และ triplex ที่ลิงค์กัน และไม่ลิงค์กันในสภาพ coupling แบบต่างๆ และสูตรของอัตราส่วนฟีโนไทป์ที่ใช้ในการคำนวณค่า recombination fraction (r) ของชุดเซลล์สีบพันธุ์แบบต่างๆ (Ukoskit and Thompson, 1997)

Gametic series	Phenotypic Classes	Phenotypic proportions		General gametic proportions
		Linked	Non-linked	
1&2 Asymmetrical coupling	AB	0.5	0.4	0.5r-0.2r
	A	0	0.1	0.2r
	B	0.3	0.4	0.3+0.2r
	Nil	0.2	0.1	0.2-0.2r
2&2 Double coupling	AB	0.8	0.65	0.8r-0.4r+0.2r ²
	A	0	0.15	0.4-0.2r ²
	B	0	0.05	0.4-0.2r ²
	Nil	0.2	0.05	0.2r-0.4r+0.2r ²
1&3 Asymmetrical coupling	AB	0.5	0.475	0.5r-0.5r
	A	0	0.025	0.5r
	B	0.45	0.475	0.45+0.5r
	Nil	0.05	0.025	0.05-0.05r
2&2 Asymmetrical coupling		0.8	0.7625	0.8r-0.1r+0.05r ²
		0	0.0375	0.1r-0.05r ²
		0.15	0.1875	0.15+0.01r-0.05r ²
		0.05	0.0125	0.05-0.01r+0.05r ²

สูตรทั่วไปที่ใช้ในการหาอัตราส่วนฟีโนไทป์ของชุดสีบพันธุ์ที่เกิดจากลิงเกจที่เกี่ยวข้องกับ duplex และ triplex ในอโตโพลีเพโลยแบบต่างๆ สามารถวิเคราะห์จากความถี่ของยีนในประชากรของอโตโพลีเพโลยแบบต่างๆ โดย p และ q เป็นความถี่ของแอลลีลที่แตกต่างกันในแต่ละโอลิกัส สำหรับชุดเซลล์สีบพันธุ์ที่เครื่องหมายโมเลกุล ลิงค์กันในสภาพ coupling อัตราส่วนของยีโนไทป์เป็นฟังก์ชันของความถี่ยีน และสามารถแสดงในรูปของความถี่ยีนได้โดยตรงซึ่งสามารถสรุปเป็นสูตรทั่วไปสำหรับอโตโพลีเพโลยแบบต่างๆ ได้ แต่ชุดเซลล์สีบพันธุ์ที่เครื่องหมายโมเลกุล ลิงค์กันในสภาพ repulsion อัตราส่วนจึงใน

ไทรป์จะขึ้นกับระดับของพลอยดีและไม่สามารถแสดงในรูปของความถี่ยีนโดยลำพัง (Da Silva , 1993)

สำหรับกรณีที่ p เป็นความถี่ของเซลล์สีบพันธุ์ที่มีเครื่องหมายโมเลกุล q เป็นความถี่ของเซลล์สีบพันธุ์ที่ไม่มีเครื่องหมายโมเลกุล ดังนั้น $p+q = 1$ และกำหนดให้หมายเลข 1, 2 และ 3 เป็นความถี่ของเครื่องหมายโมเลกุล simplex duplex และ triplex ตามลำดับ ตัวอย่างเช่น ชุดเซลล์สีบพันธุ์ simplex-duplex (1&2) Asymmetrical coupling ค่า p_1 และ p_2 หมายถึง ความถี่ของเซลล์สีบพันธุ์ที่มีเครื่องหมายโมเลกุล simplex และ duplex ตามลำดับ ส่วน q_1 , q_2 หมายถึง ความถี่ของเซลล์สีบพันธุ์ที่ไม่มีเครื่องหมายโมเลกุล simplex และ duplex ตามลำดับ ในกรณี

เครื่องหมายโมเลกุล simplex ค่า p_1 และ q_1 เท่ากับ 0.5 ในกรณีเครื่องหมายโมเลกุล duplex และ triplex ของอโตโพลีพloid อย $p_2 = 1-q_2$; $p_3 = 1-q_3$ โดย

$$q_2 = \frac{1}{2(x-1)} \quad q_3 = \frac{1}{2(x-1)}$$

p_2 และ p_3 เป็นความถี่ของเซลล์สีบพันธุ์ที่มีเครื่องหมายโมเลกุล duplex และ triplex ตามลำดับ q_2 และ q_3 เป็นความถี่ของเซลล์สีบพันธุ์ที่ไม่มีเครื่องหมายโมเลกุล duplex และ triplex ตามลำดับ x เป็นจำนวนครัวโน่ในไข่พื้นฐานของอโตโพลีพloid โดยการแทนค่า x ลงในสมการของ q_2 และ q_3 แล้วหาค่า p_2 และ p_3 ออกมา จะทำให้ได้ความถี่ของยีนของอโตโพลีพloid แบบต่างๆ ดังตารางที่ 8

ตารางที่ 8 ความถี่ยีนของเครื่องหมายโมเลกุล duplex และ triplex ในอโตโพลีพloid แบบต่างๆ p_2 และ p_3 เป็นความถี่ของเซลล์สีบพันธุ์ที่มีเครื่องหมายโมเลกุล duplex และ triplex ตามลำดับ โดย $p_2 = 1-q_2$; $p_3 = 1-q_3$

สำหรับสูตรทั่วไปของอัตราส่วนจีโนไทป์และอัตราส่วนฟีโนไทป์ (วิธีการสร้างสูตรทั่วไปใช้วิธีการวิเคราะห์เช่นเดียวกับตัวอย่าง simplex-duplex asymmetrical coupling ในอโตอเกชภาพลดอย่างต้น) ของชุดเซลล์สีบพันธุ์ที่เครื่องหมายโมเลกุลลิงค์กันในสภาพ coupling แสดงได้ดังตารางที่ 9

จากตัวอย่าง simplex-duplex asymmetrical coupling ในอโตอเกชภาพลดอย เมื่อแทนค่าความถี่ยีนของ p_1 , p_2 และ q_2 ด้วย 0.5, 0.8 และ 0.2 ตามลำดับ ลงในสูตรทั่วไปของ 1&2 Asymmetrical coupling ของตารางที่ 9 จะทำให้ได้สูตรดังตารางที่ 7

Dosage	Ploidy level						
	4	6	8	10	12	14	16
Duplex (p_2)	0.83	0.80	0.79	0.78	0.77	0.77	0.77
Triplex (p_3)	1.00	0.95	0.93	0.92	0.91	0.90	0.90

ตารางที่ 9 แสดงสูตรทั่วไปของอัตราส่วนจีโนไทป์และอัตราส่วนฟีโนไทป์ของชุดเซลล์สีบันธุ์ที่เกิดจากการลิงค์กันในสภาพ coupling ของเครื่องหมายโมเลกุล simplex duplex และ triplex แบบต่างๆ (Da Silva, 1993)

Class	1&2 Asymmetrical coupling	2&2 Double coupling	Class	1&3 Asymmetrical coupling	2&3 Asymmetrical coupling
Genotypic classes			Genotypic classes		
AABB	-	$q_2 - 2q_2r + q_2r^2$	AABB	-	$q_3 - 2q_3r + q_3r^2$
AAB	-	$2q_2r - 2q_2r^2$	AABB	-	$q_2 - q_3 + 2q_3r - q_2r - q_3r^2$
ABB	$q_2 - q_2r$	$2q_2r - 2q_2r^2$	AAB		$q_2r - q_3r^2$
AB	$p_2 - q_1$	$p_2 - q_2 - 4q_2r + 4q_2r^2$	ABBB	$q_3 - q_3r$	$2q_3r - 2q_3r^2$
AA	-	q_2r^2	ABB	$p_1 - 3q_3 - 2q_3r$	$p_2/2 - q_2/2 - 2q_3r + 2q_3r^2$
A	q_2r	$2q_2r - 2q_2r^2$	AB	$2q_3 + 2q_3r$	$p_2/2 - q_2/2 - 2q_3r + 2q_3r^2$
BB	q_2r	q_2r^2	AA	-	q_3r^2
B	$p_2 - q_1$	$2q_2r - 2q_2r^2$	A	q_3r	$2q_3r - 2q_3r^2$
Nil	$q_2 - q_{21}$	$q_2 - 2q_2r + q_2r^2$	BBB	q_3r	q_3r^2
phenotypic classes			BB	$2q_3 + 2q_3r$	$q_2r - q_3r^2$
AB	$p_1 - q_2r$	$p_2 - 2q_2r + q_2r^2$	B	$p_3 - q_1 - 2q_3 - 2q_3r$	$q_2 - q_3 + 2q_3r - q_2r - q_3r^2$
A	q_2r	$2q_2r - 2q_2r^2$	Nil	$q_3 - q_3r$	$q_3 - 2q_3r + q_3r^2$
B	$p_2 - q_1 + q_2r$	$2q_2r - 2q_2r^2$	Phenotypic classes		
Nil	$q_2 - q_2r$	$q_2 - 2q_2r + q_2r^2$	AB	$p_1 - q_3r$	$p_2 - 2q_3r + q_3r^2$
Sum	$p_2 + q_2 = 1$	$p_2 + q_2 = 1$	A	q_3r	$2q_3r - 2q_3r^2$
			B	$p_3 - q_1 + q_3r$	$q_2 - q_3 + (q_2 - q_3)r - q_3r^2$
			Nil	$q_3 - q_3r$	$q_3 - (q_2 - q_3)r + q_3r^2$
			Sum	$p_3 + q_3 = 1$	$p_2 + q_2 = 1$

3.4.2 การประมาณค่า recombination fraction (r)

หลังจากได้สูตรของอัตราส่วนฟีโนไทป์ของชุดเชลล์สีน้ำพันธุ์ที่เครื่องหมายไม่เลกุลิงค์กันในแบบที่วิเคราะห์แล้ว ระยะทางระหว่างเครื่องหมายไม่เลกุลิงสามารถประมาณจากค่า r โดยวิธี Maximum likelihood ดังสมการ

$$\frac{dL}{dr} = a_1 \frac{d \log m_1}{dr} + a_2 \frac{d \log m_2}{dr} + \dots + a_t \frac{d \log m_t}{dr} = 0$$

โดย r = recombination fraction; $m_1 \dots m_t$ เป็นอัตราส่วนฟีโนไทป์ที่คาดหมายของฟีโนไทป์แบบที่ 1 ถึง t ; $a_1 \dots a_t$ เป็นค่าสังเกตฟีโนไทป์แบบที่ 1 ถึง t

3.4.3 ประสิทธิภาพของการตรวจสอบลิงเกจ (Power of linkage detection)

การวิเคราะห์ลิงเกจในօอโต โพลีเพลย์ต้องใช้สูตรอัตราส่วนฟีโนไทป์ที่เกิดจากชุดเชลล์สีน้ำพันธุ์ของเครื่องหมายไม่เลกุลที่ลิงค์กันในแบบต่างๆ ดังกล่าวข้างต้น เพื่อประมาณค่า r หรือระยะทางระหว่างเครื่องหมายไม่เลกุล อย่างไรก็ตาม การวิเคราะห์ลิงเกจของชุดเชลล์สีน้ำพันธุ์แบบต่าง ๆ นี้มีข้อจำกัดเกี่ยวกับอัตราส่วนที่คล้ายคลึงกันระหว่างอัตราส่วนฟีโนไทป์ของเครื่องหมายไม่เลกุลที่ลิงค์กันกับอัตราส่วนฟีโนไทป์ของเครื่องหมายไม่เลกุลที่ไม่ลิงค์กัน โดยความคล้ายคลึงของอัตราส่วนฟีโนไทป์ทั้งสองนี้จะเกี่ยวข้องกับชนิดของชุดเชลล์สีน้ำพันธุ์ของเครื่องหมายไม่เลกุลที่ลิงค์กัน โดยเครื่องหมายไม่เลกุลที่ลิงค์กันในสภาพ coupling และเกี่ยวข้องกับเครื่องหมายไม่เลกุลที่มีจำนวน dose ต่ำกว่า simplex จะมีประสิทธิภาพในการตรวจสอบลิงเกจได้ดีกว่าการลิงค์กันในสภาพ repulsion ที่เกี่ยวข้องกับเครื่องหมายไม่เลกุลที่มีจำนวน dose สูง เช่น duplex และ triplex

ประสิทธิภาพของการตรวจสอบลิงเกจสามารถวัดโดยการคำนวณหา Power of χ^2 (Agresti, 1990) ซึ่งเป็นพิพากษ์ชั้นของระดับความเชื่อมั่น α กับพารามิเตอร์ของ non-centrality (λ) กับขนาดของประชากรสูกพสมที่ใช้ในการวิเคราะห์ลิงเกจ โดย

$$\lambda = n \sum \frac{[\pi_i - \pi_i(M)]^2}{\pi(M)}$$

โดย π_i เป็นอัตราส่วนฟีโนไทป์ในกลุ่มที่ i เมื่อเครื่องหมายไม่เลกุลไม่ลิงค์กัน และ $\pi_i(M)$ เป็นอัตราส่วนฟีโนไทป์ที่ได้จากการคำนวณค่า r โดยวิธี maximum likelihood โดย $\sum \pi_i = \sum \pi_i(M) = 1$

ตัวอย่างการคำนวณ Power of χ^2 เพื่อแยกความแตกต่างระหว่างอัตราส่วนฟีโนไทป์ของชุดเชลล์สีน้ำพันธุ์ simplex-duplex asymmetrical coupling ของอัตราส่วนฟีโนไทป์ที่เครื่องหมายไม่เลกุลไม่ลิงค์กัน ($r=0$) เปรียบเทียบกับอัตราส่วนฟีโนไทป์ที่เครื่องหมายไม่เลกุลไม่ลิงค์กัน ($r=0.5$) เมื่อใช้จำนวนประชากรสูกพสมในการวิเคราะห์ลิงเกจเท่ากับ 76

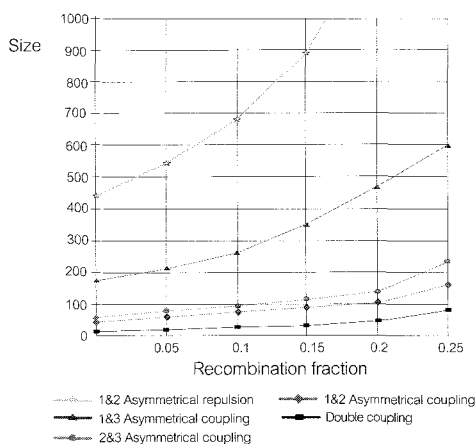
Phenotypes	Ratio of linked	Ratio of non-linked
AB	0.5	0.4
A	0	0.1
B	0.3	0.4
Nil	0.2	0.1

$$\lambda = 76[((0.5-0.4)2/0.4)+((0-0.1)2/0.1)+((0.3-0.4)2/0.4)+((0.2-0.1)2/0.1)] = 19$$

Power of χ^2 test ที่ค่า $\lambda = 19$, df=1 มีค่า 99% (เบ็ดารง Power of χ^2 จาก Agresti, 1990)

จากการคำนวณหา Power of χ^2 ทำให้สามารถหาความสัมพันธ์ระหว่างขนาดของประชากรสูกพสมที่ต้องใช้เมื่อต้องการประมาณค่า r ที่ระดับต่าง ๆ ของชุดเชลล์สีน้ำพันธุ์ที่เครื่องหมายไม่เลกุลลิงค์กันในแบบต่าง ๆ ดังรูปที่ 6 จากกราฟจะเห็นได้ว่าเครื่องหมายไม่เลกุลที่ลิงค์กันในสภาพ coupling และเกี่ยวข้องกับจำนวน dose ที่ต่ำของเครื่องหมายไม่เลกุล (เช่น simplex, duplex) จะเป็นต้องใช้จำนวนประชากรสูกพสมน้อยกว่าเครื่องหมายไม่เลกุลที่ลิงค์กันในสภาพ repulsion ดังนั้นแม้ว่าในօอโต โพลี-

ผลอยจะมีชนิดของชุดเชลล์สีบพันธุ์ที่เกิดจากเครื่องหมายไม้เลกุลที่ลิงค์กันได้หลายแบบ การประมาณค่า r คงจำกัดอยู่ในชนิดของชุดเชลล์สีบพันธุ์เพียงไม่กี่แบบ เนื่องจากข้อจำกัดในการทดลองที่ไม่สามารถใช้จำนวนประชากรลูกผสมเป็นจำนวนมากได้ ดังตัวอย่าง ในกรณีของอัโต-ออกตาพลอย (autoactaploid) ถ้ามีประชากรลูกผสมจำนวน 250 เฉพาะชุดเชลล์สีบพันธุ์ที่มีเครื่องหมายไม้เลกุลลิงค์กันแบบ double coupling , simplex-duplex asymmetrical coupling และ duplex-triplex asymmetrical coupling จะสามารถตรวจสอบลิงก์เจที่ค่า $r = 0.25$ ได้โดยมีประสิทธิภาพการตรวจส่วนลิงก์เจที่ 80 %

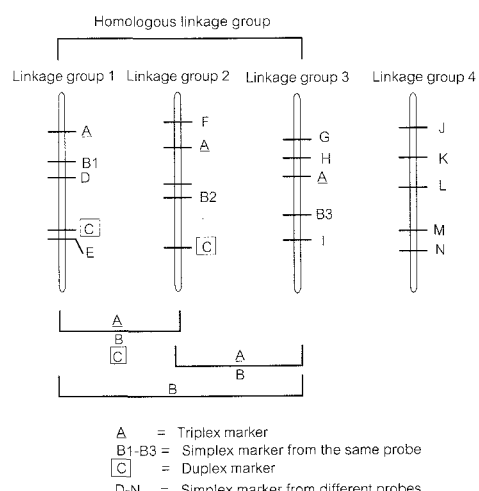


รูปที่ 6 ความสัมพันธ์ระหว่างขนาดของประชากรลูกผสมที่ใช้ในการวิเคราะห์ลิงก์เจของชุดเชลล์สีบพันธุ์แบบต่างๆ เพื่อการประมาณค่า recombination fraction ที่ระดับต่างๆ โดยมีค่า Power of χ^2 เท่ากับ 80% (Da Silva, 1993)

3.5 การวิเคราะห์กลุ่มลิงก์เจที่เป็นโอลิโกส์กัณกัน

เครื่องหมายไม้เลกุลชนิด simplex ที่ได้จาก RFLP หรือ SSR สามารถช่วยในการวิเคราะห์กลุ่มลิงก์เจที่เป็นโอลิโกส์กัณกัน โดยพิจารณาจากกลุ่มลิงก์เจส่องกลุ่ม x และ y (หรือมากกว่า 2 กลุ่มลิงก์เจ) ที่มีเครื่องหมายไม้เลกุล simplex ที่เกิดจากการใช้โพลน 2 แบบ ใน RFLP หรือคู่

ไฟรเมอร์ 2 คู่ ใน SSR โดยกลุ่มลิงก์เจ x จะมีเครื่องหมายไม้เลกุล simplex ที่เกิดจากโพลน 2 แบบ หรือคู่ไฟรเมอร์ 2 คู่ ขณะเดียวกันกลุ่มลิงก์เจ y ที่มีเครื่องหมายไม้เลกุล simplex (ต่างแผลบคีอีนเอกับเครื่องหมายไม้เลกุล simplex แรก) ที่เกิดจากโพลน หรือคู่ไฟรเมอร์เดียวกัน ดังเครื่องหมายไม้เลกุล simplex B ในรูปที่ 7



รูปที่ 7 แสดงตัวอย่างกลุ่มลิงก์เจที่เป็นโอลิโกส์กัณก์ คือกลุ่มลิงก์เจที่ 1 , 2 และ 3 โดยพิจารณาจาก เครื่องหมายไม้เลกุล triplex A เครื่องหมายไม้เลกุล simplex B และ เครื่องหมายไม้เลกุล duplex C กลุ่มลิงก์เจที่ 4 ไม่อยู่ในกลุ่มโอลิโกส์ลิงก์เจนี้

กลุ่มลิงก์เจที่เป็นโอลิโกส์กัณกันประกอบด้วยกลุ่มลิงก์เจที่ 1 , 2 และ 3 โดยวิเคราะห์จาก 1) เครื่องหมายไม้เลกุล triplex A ที่ปรากฏทั้ง 3 กลุ่มลิงก์เจ 2) เครื่องหมายไม้เลกุล simplex B โดย B1 B2 และ B3 เกิดจากโพลนของ RFLP ชนิดเดียวกัน หรือ คู่ไฟรเมอร์ SSR คู่เดียวกันแต่เป็นแทนคีอีนเอกันและแผลบ 3) เครื่องหมายไม้เลกุล duplex C ส่วน D E F G H และ I เป็นเครื่องหมายไม้เลกุล simplex ในกลุ่มลิงก์เจที่ไม่สามารถใช้ในการวิเคราะห์กลุ่มลิงก์เจที่เป็นโอลิโกส์กัณกัน กลุ่มลิงก์เจที่ 4 ไม่อยู่ในกลุ่มลิงก์เจที่เป็นโอลิโกส์

ในการวิเคราะห์กลุ่มลิงเกจที่เป็นโไอโนโลกัสกัน โดยใช้เครื่องหมายโมเลกุล simplex ต้องอยู่บนสมบูดฐาน ที่ว่า กลุ่มลิงเกจที่เป็นโไอโนโลกัสกันต้องอยู่บนชิ้น โครโนโซมที่โไอโนโลกัสกัน ซึ่งในบางกรณีการเกิด duplication หรือ translocation ระหว่างโครโนโซมที่ไม่ เป็นโไอโนโลกัสกัน ที่ทำให้เกิดกลุ่มลิงเกจที่เป็นโไอโนโล กัสกันได้ การยืนยันความถูกต้องของกลุ่มลิงเกจที่เป็น โไอโนโลกัสกันสามารถทำได้โดยการสร้างแผนที่ของ เครื่องหมายโมเลกุล multiplex เช่น duplex หรือ triplex ดังนั้นตัวอย่างในรูปที่ 7 หลังจากที่วิเคราะห์กลุ่มลิงเกจที่ เป็นโไอโนโลกัสกันได้แล้ว สำหรับแผนที่เครื่องหมาย โมเลกุลนี้ความละเอียดที่สามารถตรวจกันเป็นแผนที่ของแต่ ละโครโนโซมได้ ซึ่งจะมีค่าเท่ากันจำนวน x (basic chromosome number) และจะช่วยให้สามารถคัดเลือก เครื่องหมายโมเลกุลสำหรับทำแผนที่ในประชากรลูกผสม อื่นได้

4. สรุป

การสร้างแผนที่เครื่องหมายโมเลกุลในพืชที่มี โครโนโซมอโトイโพลีเพลย์ สามารถใช้วิธีการดังที่กล่าว มาข้างต้นนี้ การสร้างประชากรลูกผสมจากพืชที่มีความ เป็นເຫດທෝໂໄໂໂกัสสูง จะทำให้ได้เครื่องหมายโมเลกุลที่มี โพลิมอร์ฟิซึมเป็นจำนวนมาก ซึ่งในจำนวนนี้ก็มีทั้งเครื่อง หมายโมเลกุลชนิด simplex และ multiplex ประกอบกัน ในกรณีคลองผู้วิจัยจะสามารถทราบชนิดของเครื่องหมาย โมเลกุลได้จากการวิเคราะห์การกระจายตัวของเครื่อง หมายโมเลกุลในประชากรลูกผสม การสร้างแผนที่จะเริ่ม จากการวิเคราะห์ลิงเกจของเครื่องหมายโมเลกุล simplex ที่ ลิงค์กันในสภาพ coupling จากนั้นจึงเติมตำแหน่งของ เครื่องหมายโมเลกุล duplex และ triplex ลงในแผนที่เครื่อง หมายโมเลกุล simplex โดยการประมาณค่า r จากอัตรา ส่วนฟีโนไทป์ของชุดเซลล์สีน้ำพันธุ์ที่เกิดจากเครื่องหมาย โมเลกุลที่ลิงค์กันในสภาพ coupling และเกี่ยวข้องกับ เครื่องหมายโมเลกุลที่มีจำนวน dose คำ เช่น simplex duplex หรือ triplex ในการสร้างเครื่องหมายโมเลกุล

duplex และ triplex นี้ ไม่มีค่าใช้จ่ายเพิ่มขึ้นแต่ประการใด และเป็นการใช้ข้อมูลจากการสร้างเครื่องหมายโมเลกุล อย่างเต็มที่

5. เอกสารอ้างอิง

- [1] Agresti, A. Building and applying loglinear models: Categorical data analysis, John Wiley&Sons, New York, NY, 1990.
- [2] Al-Janabi, S.M., R.J. Honeycutt, M. McClelland, and B.W.S. Sorbral. A genetic linkage map of *Saccharum spontaneum* L. 'SES 208'. Genetics 134: 1249-1260, 1993.
- [3] Anderson, J.A., Y. Oghara, M.E. Sorrels, and S.D. Tanksley. Development of a chromosomal arm map for wheat based on RFLP markers. Theor. Appl. Genet. 83: 1035-1043, 1992.
- [4] Baenziger, P.S., D.T. Kudirka, G.W. Schaeffer, and M.D. Lazar. The significance of doubled haploid variation. Stadler Genet. Symp. 16:385-414, 1984.
- [5] Bonierbale, M. W., R.L. Plaisted, and S.D. Tanksley. RFLP maps based on a common set of clones reveal modes of chromosomal evolution in potato and tomato. Genetics 120: 1095-1103, 1988.
- [6] Da Silva, J.A.G. A Methodology for genome mapping of autopolypliod and its application to sugarcane (*Saccharum spp.*) Ph.D. Dissertation, Cornell University, Ithaca, NV, 108 pp, 1993.
- [7] De Winton, D. and J.B.S. Haldane. Linkage in the tetraploid *Primula sinensis*. J. Genet. 24:121-144, 1931.
- [8] Echt, C.S., K.K. Kidwell, S.J. Knapp, T.C. Osborn, and T.J. McCoy. Linkage mapping in

- diploid alfalfa (*Medicago sativa*). *Genome* 37: 61-71, 1994.
- [9] Grattapaglia, D. and R. Sederoff. Genetic linkage maps of *Eucalyptus grandis* and *Eucalyptus urophylla* using a pseudo-testcross mapping strategy and RAPD markers. *Genetics*. 137:1121-1137, 1994.
- [10] Hemmat, M., N.F. Weeden, A.G. Manganaris, and D.M. Lawson. Molecular marker linkage map for apple, *J. Hered.* 85:4-11, 1994.
- [11] Hoarau, J.-Y., B. Offmann, A. D' Hont, A.-M Risterucci, D. Roques, J.-Ch. Glaszmannand, L. Grivet. Genetics dissection of a modern sugarcane cultivar (*Saccharum spp.*). I. Genome mapping with AFLP markers. *Theor. Appl. Grenet.* 103: 84-97, 2001.
- [12] Kam-Morgan, L.N.W., B.S. Gill, and S. Muthukrishnan. DNA restriction fragment length polymorphism: a strategy for genetic mapping of D genome of wheat. *Genome* 32:724-732, 1989.
- [13] Mather, K. The measurement of linkage in heredity. Metuen, London, p149, 1951.
- [14] Ming, R., S.-C. Liu, P.H. Moore, J.E. Irvine, and A.H. Paterson. QTL analysis in a complex autopolyploid: Genetic control of sugar content in sugarcane. *Gemone Res.* 11: 2075-2084, 2001.
- [15] Ukoskit, K. and P.G. Thompson. Autopolyploid versus allopolyploid and low density Randomly Amplified Polymorphic DNA linkage maps of sweetpotato. *J. Amer. Soc. Hort Sci.* 122(6):818-821, 1997.
- [16] Wu, K.K., W. Burnquist, M.E. Sorrells, T.L. Tew, P.H. Moore, and S.D. TanksleyThe detection and estimation of linkage in polyploids using single-
- dose restriction fragment. *Theor. Appl. Grenet.* 83:294-300, 1992.